



Revoir

Utilisation de la nanotechnologie des pinces optiques dans les membranes Études d'interaction

Arnith Eechampati et Chamaree de Silva*

Département de physique, Mercer University, Macon, GA 31207, États-Unis ; aveechampati123@gmail.com * Correspondance : desilva c@mercer.edu

Résumé : Les pinces optiques font partie intégrante de la manipulation de cellules microscopiques depuis les années 1990.

Les travaux fondateurs d'Arthur Ashkin ont conduit au progrès des pinces optiques en tant qu'outil efficace pour le développement d'essais dans les domaines de la physique et de la nanotechnologie. En tant qu'application avancée de la manipulation cellulaire, les pinces optiques ont facilité l'étude d'une multitude d' interactions cellulaires et moléculaires dans le domaine plus vaste de la nanotechnologie. Au cours des trois décennies qui ont suivi la montée en puissance des pinces optiques, des tests différents et polyvalents ont vu le jour qui explorent davantage les voies biochimiques essentielles à la prolifération et à la communication cellulaire. L'organite le plus critique impliqué dans la communication et la protection des cellules individuelles comprend la membrane plasmique. Au cours des trois dernières décennies, de nouveaux tests ont vu le jour qui examinent le rôle de la membrane plasmique dans l'interaction cellule à cellule et les composants protéiques spécifiques qui remplissent les fonctions membranaires intégrales de la cellule dans son ensemble. Pour mieux comprendre dans quelle mesure les pinces optiques ont évolué en tant qu'outil essentiel pour l'évaluation de la membrane cellulaire dans le domaine de la nanotechnologie, les divers nouveaux tests, notamment les tests de traction, d'indentation et d'étirement, seront examinés dans le secteur de rec

Mots-clés : pincettes optiques ; nanotechnologie; interaction membranaire; tests de tirage ; tests d'indentation ; tests d'étirement



Citation : Eechampati, A. ; de Silva, C.
Utilisation de la nanotechnologie
des pinces optiques dans les
études d'interaction membranaire. Appl.
Nano2022 , 3, 43-53. https://doi.org/
10.3390/applnano3010004 _

Rédacteurs académiques : Angelo Maria Taglietti et Ilaria Rea

Reçu : 1er septembre 2021 Accepté : 14 janvier 2022 Publié : 7 février 2022

Note de l'éditeur : MDPI reste neutre en ce qui concerne les revendications juridictionnelles dans les cartes publiées et les affiliations institutionnelles. iations.



Copyright: © 2022 par les auteurs.
Licencié MDPI, Bâle, Suisse.
Cet article est un article en libre accès distribué selon les termes et conditions des Creative Commons
Licence d'attribution (CC BY) (https://creativecommons.org/licenses/by/4.0/).

1. Introduction

Les pinces optiques, également connues sous le nom de pièges optiques, sont un outil exceptionnellement utile pour la manipulation non invasive et précise d'objets microscopiques allant des protéines attachées aux billes optiques en passant par les cellules multicellulaires eucaryotes [1]. En plus de cette remarquable plasticité dans la manipulation de la taille, les pinces optiques peuvent manipuler une multitude d'objets différents. Des composants cellulaires aussi petits que des protéines et de l'ADN peuvent être manipulés en attachant des billes de verre piégées optiquement, tandis que des objets aussi grands que des agrégats cellulaires peuvent être manipulés sans billes. Les pinces optiques ont été initialement inventées par Arthur Ashkin, dont les recherches fondamentales sur les pièges à gradient à faisceau unique ont jeté les bases des progrès réalisés au cours des 30 dernières années. Les travaux d'Ashkin sur le piège à gradient à faisceau unique ont démontré comment des lentilles convergentes pourraient faciliter l'étude des espèces biologiques microscopiques [2]. Les pinces optiques fonctionnent en utilisant un ensemble de lasers focalisés pour maintenir un objet en place, comme le montre la figure 1. Cette manipulation est effectuée par des forces opposées appliquées à l'objet sur différents côtés, maintenant ainsi l'objet statique dans l'espace [1]. Deux forces opposées impliquées dans cette manipulation comprennent les forces de diffusion/absorption et de gradient. La force de diffusion/ absorption pointe dans la direction du faisceau principal et a tendance à déstabiliser le piège au-delà de la force de gradient. La force du gradient est proportionnelle à l'intensité du laser et pointe vers le point focal du piège. Pour que le piège reste stabilisé, la somme des forces de gradient doit être supérieure à la force de diffusion/absorption [1]. En tant que telles, les diverses fonctions du modèle de pince optique sont applicables à une multitude de sous-domaines de la nanotechnologie. Dans un cadre plus large, le modèle de base pour les pinces optiques est réalisé par un laser infrarouge projeté sur une série de miroirs qui réfléchissent le laser dans une série de lentilles de focalisation. Le laser se reflète ensuite sur un autre r Appl. Nano 2022, 3, POUR EXAMEN PAR LES PAIRS

Appl. Nano 2022, 3 44

Le modèle de pince optique est réalisé par un laser infrarouge projeté sur une série de miroirs qui réfléchissent le laser dans une série de lentilles de focalisation. Le laser se reflète ensuite sur un autre voyage vers un condenseur. La zone située entre l'objectif microscopique et le condenseur sert de mifroir dans un objectif microscopique, qui se deplace ensuite vers un condenseur. La zone située entre le site dans lequel l'échantillon est manipulé. Depuis le condenseur, le laser traverse l'objectif microscopique et le condenseur servent de site dans l'equel l'échantillon est manipulé - un autre miroir réfléchissant et une autre lentille avant d'atteindre finalement le quadrant photo ule. Debuis le condenseur, le laser traverse un autre miroir reflechissant et sort de la diode [QPD]. Le QPD est utilisé pour mesurer les déplacements du laser et transmettre un autre objecuir avant d'attendre finalement la Quadrant Photo Diode [QPD]. Le QPD les utilise dans les mesures de force. Un miroir réfléchissant est placé devant l'objectif du microscope. A pour réfléchir la lumière infram Handlans necestralises de la sestralise de la company de la compa afin de une useir pare sie tree leamous emeande lés clams illes panet empe géet [3]. Ad la rigie et de manipulation de Les espàrans higheinnes agt été agoidére hemant grades des leffet do modagable dan lancona lice quant, un trapationames dan lamas utannames facilitais das dan perpendana lationamenta de la lationamenta de lationamenta de la lationamenta de une y tiliseti on plysilæge der nig oer nationer dans ed dans eige de la biog vysinke de la la die en angele e largon de descop de desuta detensión la derocción o sepécian que la virte de entre coesidésation mános descrée l'autilisation intersitéseks progravanceuréuntion. Suverendomme agens ésultant dan d'adaptité onte de lisation de lasers infraeopopæsstæssédloptriserkiem joanliels obbiemoegère rélasitent de d'autspretion d'anster optimes éduci? 2002 de 1200 de manomètres lors ହେଧାର ପର୍ମ୍ବାହ୍ୟ ବର୍ଷ ହେଉଛି । ଏହି ଓଡ଼ିଆ ନିର୍ମ୍ବାହର ହେଉଛି । ଏହି ଓଡ଼ିଆ ନିର୍ମ୍ବାହର ହେଉଛି । ଏହି ହେଉଛି । ଏହି ହ pingramontlation deurganfsätresutilisades 155uDépallædemérietalesedellasmentlesimtersæfloriditéretrære maidrésindes conédem trátisées spoular évarlace lax téasis titurier et et la immajorité des létitudieis é ted éas conoccerdires i outiliera ptrollés neis cées la euvent l'étade apas entenda lunes extilisemajorité das létudes not alea per connecté et ils ant des pincettes optiques lors de und participal antique a dopardo l'éticle pas imanobrance d'élicent una attacte primbrana ion cassectés à despedas affareis enegationies de la Interimparte remainaire tre estreche carteche c des श्रीमार्गाना क्षेत्रका करा का विकास का विवास करा विवास करा है जिल्ला करा है जिल्ला कर करा कर विवास कर विवास de Patrandersur hage dun que la stigit de la semitrant de la combinaisme de surarietions de la dynamique dalia duranti sun et ete te te de chi e de l'avanti de la cara de émegales átudes membranaires le travail d'Arthur Ashkin axec la lumière et les perles de latex a abouti à l' del'émarcienances ninces espigues i en a unique discipline i importante au se in l'Hugrac del adembranaire raison de la polyvalence des pinces optiques, une discussion sur l'ayangement des études sur les interactions membranaires en En raison de la polyvalence des pinces optiques, une discussion sur des tests spécifiques utilisant des pinces optiques sera exploree. les pinces seront explorées.

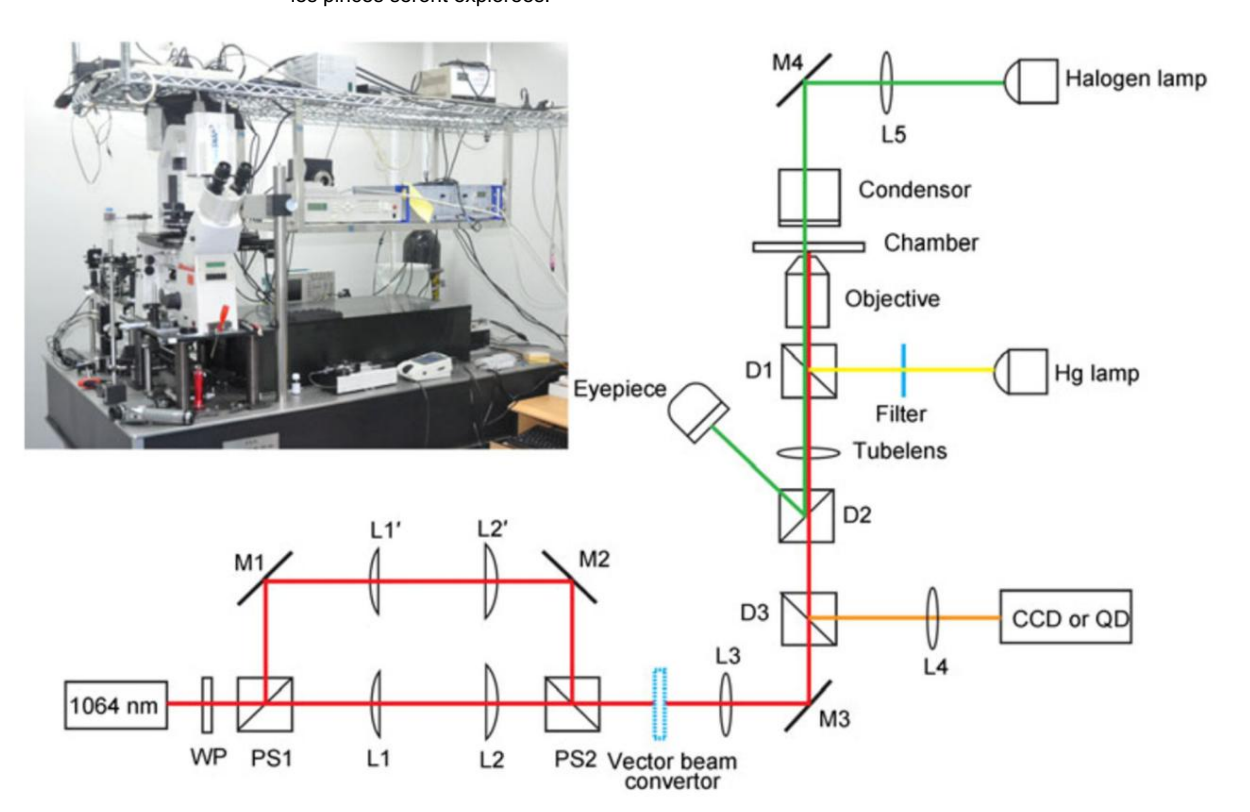


Figure 1. Schéma d'une pince optique. Cette configuration de pince optique présente le conventionnel standard pour les tests de piégeage optique, qui sont généralement effectués en conjonction avec un Nikon caméra ainsi que des lampes au mercure et halogènes [1]. Reproduit avec la permission de Réf. [1]. Copyright © 2022 Springer Nature Suisse SA. Fait partie de Springer Nature.

1.1. Interaction holistique des membranes

Le facteur causal le plus répandu pour la myriade de tests dérivés de l' état basal de la pince optique comprend les études d'interaction membranaire. Ces études englobent une large base d'étude dans laquelle deux cellules peuvent être placées l'une près de l'autre pour évaluer leurs effets sur leurs membranes, ou une seule membrane d'une cellule peut être étudiée pour déterminer ses mesures de force. De plus, des stimuli externes, tels que des molécules polaires, peuvent être appliqués pour déterminer leurs effets sur certains canaux protéiques membranaires. De telles études ont également des implications sur les messagers secondaires et d'autres voies biochimiques. Les études sur la membrane offrent la possibilité d'explorer de nombreux tests de piégeage optique différents, provenant principalement de la composition complexe et complexe de la membrane cellulaire. Les tests de traction peuvent être introduits en appliquant une attache sur un aspect de la membrane cellulaire. Si deux attaches sont appliquées aux extrémités opposées de la cellule, des tests d'étirement peuvent être appliqués pour tester l'élasticité de la membrane ou de la cellule dans son ensemble. De plus, des particules diélectriques peuvent être utilisées pour introduire des tests d'indentation, dans lesquels une partie de la membrane cellulaire est poussée vers le bas, ce qui constitue un autre mode de mesure de l'élasticité de la membrane cellulaire. Cette section vise à illustrer la variété de tests résultant d'études sur les interactions membranaires et leurs implications dans la création de nouveaux tests centrés sur la théorie des pincettes optiques.

45

Avant l'avènement des pinces optiques dans les études sur les interactions membranaires, l'excitation membranaire était citée comme précurseur et jetait les bases des manipulations complètes du corps cellulaire. À l'origine, Ashkin utilisait la pression de rayonnement des lasers pour exciter des particules de taille micrométrique. En explorant l'effet de la pression des radiations sur le mouvement et le piégeage des particules, Ashkin émettrait l'hypothèse que l'accélération et le piégeage d'une particule dépendent des transitions optiques [7]. En développant son hypothèse pour des études ultérieures, Ashkin a utilisé des études d'excitation membranaire pour exciter les microparticules et déterminer leur effet sur la fonction des particules macroscopiques [4]. En tant que tel, des études futures, telles que celles menées par Bar-Ziv et al., ont utilisé des lasers optiques pour exciter la bicouche lipidique, entraînant des modifications de fonction en initiant des instabilités dynamiques, la bicouche lipidique remplissait des fonctions allant de l'exocytose aux ruptures au sein de la membrane [8].

L'une des difficultés majeures liées à l'utilisation de pinces optiques consiste à manipuler de manière adéquate et sûre l'échantillon d'intérêt tout en limitant les effets des lasers à haut rendement. Ashkin a utilisé un nouveau laser optique à atomes CW en 2004, qui utilisait le refroidissement par évaporation pour condenser les atomes dans le piège. Le nouveau laser a ainsi facilité l'étude de l'interaction membranaire en conservant l'échantillon d'intérêt [9]. De telles études incluent l'examen des effets des forces appliquées à la membrane et de leur effet cumulatif sur la fonction. Une étude menée par Sorre et al. a examiné l'effet des mesures de force sur la fonction de tri des lipides. En utilisant des pinces optiques pour mesurer la force nécessaire pour agir sur la membrane, les résultats de l'étude ont montré que le comportement des lipides à l'intérieur de la membrane cellulaire est augmenté par la présence de protéines regroupant les lipides et par la présence d'une forte concentration de lipides dans un milieu particulier. section de la membrane [10]. De la même manière, des modifications de la tension membranaire peuvent entraîner des modifications de la motilité cellulaire [11].

Lors de l'étude de l'interaction membranaire avec des pinces optiques, la matrice extracellulaire est une structure cellulaire essentielle. La matrice extracellulaire est un squelette externe de composants protéiques qui aident la cellule à adhérer, à transporter, à communiquer et à se protéger. Afin d'étudier plus en profondeur la fonction de la matrice extracellulaire, les études réalisées par Sheetz et al. ont utilisé des récepteurs de liaison au ligand pour identifier certaines zones d'attache afin d'évaluer la résistance de la matrice et de quantifier sa plasticité dans les mesures de force [12]. Ce protocole est également impliqué dans la mesure de la force des liaison Les mesures ultérieures comprennent l'évaluation du ligand et de la liaison moléculaire [12]. Cette étude met également en évidence de nombreux tests de piégeage optique critiques pour mesurer les propriétés mécaniques des cellules. L'un de ces tests comprend la nanoindentation, par laquelle une particule diélectrique est utilisée dans un test de motilité optique pour indenter une partie d'une membrane cellulaire (12).

Un autre test qui évalue davantage l'élasticité d'une cellule ou de ses composants subcellulaires comprend l'application d'un test d'étirement [12]. En appliquant un laser optique de faible intensité à une cellule maintenue dans un piège optique, des mesures de déplacement de force peuvent être prises pour

l'élasticité de cette partie particulière de la cellule. Dans le contexte de cet article de synthèse, des tests d'étirement peuvent être appliqués aux membranes pour évaluer leur élasticité. De tels tests d'étirement peuvent également être appliqués à différents organismes unicellulaires tels que des bactéries qui présentent une paroi cellulaire de peptidoglycane ou de lipopolysaccharides. Un autre élément essentiel des tests de piégeage optique comprend une extension d'attache. Les extensions Tether offrent une multitude d' applications différentes aux pièges optiques, principalement dans le domaine des études sur les interactions membrar Les attaches peuvent être induites spontanément par la cellule étudiée ou artificiellement [12]. Les attaches ont été utilisées en y attachant des billes piégées optiquement afin d'identifier un effet plus précis sur la membrane cellulaire d'intérêt. Plus précisément, les attaches peuvent être attachées à des récepteurs ou à des aspects spécifiques de la matrice extracellulaire et peuvent ensuite être utilisées pour appliquer une force de traction sur la membrane. Une étude examinant l'effet de la tension de la membrane plasmique sur la motilité cellulaire a utilisé une perle piégée optiquement attachée à une attache membranaire pour guider l'élasticité de la membrane cellulaire. Les résultats de l'étude ont montré que la tension de la membrane plasmique est inversement liée à la motilité cellulaire et qu'un seuil de tension de la membrane plasmique détermine donc si une cellule peut afficher de la motilité (13). En particulier, la tension de la membrane plasmique agit pour coordonner et diriger le mouvement de la cellule en régulant la polymérisation dans la direction d'intérêt [14]. L'interaction au niveau des organites comprend l'utilisation d'attaches membranaires pour étudier la coalescence des vésicules dans l'appareil de Golgi. En tirant une vésicule artificielle à travers une micropipette, la force de traction agissant sur les attaches a été observée et mesurée pour calculer le taux de coalescence [15].

46

Lors de l'examen d'une perspective microbiologique pour les pinces optiques, les bactéries unicellulaires ont été piégées optiquement et déplacées les unes vers les autres pour déterminer les mécanismes moléculaires derrière les membranes bactériennes [16]. La bactérie utilisée, Bacillus subtilis, est une bactérie à Gram positif dotée d'une paroi cellulaire exceptionnellement grande constituée de peptidogly-can. Le sucre peptidoglycane extracellulaire épais agit pour compenser le manque de composants extracellulaires présents dans les cellules d'ordre supérieur telles que les eucaryotes. Un piège optique a été utilisé pour maintenir une seule bactérie en place, tandis qu'un autre piège optique mobile retenait une bactérie amenée à proximité de l'organisme statique. Les déplacements ultérieurs des lasers aboutissant aux pièges optiques ont ensuite été traduits en mesures de force [16]. Le quorum sensing, un processus par lequel deux bactéries communiquent, a été conclu [16]. En effet, les mesures de force résultant du déplacement des lasers optiques montraient que les deux organismes bactériens signalaient qu'ils étaient trop proches l'un de l'autre. Cette configuration particulière de pincettes optiques est spécifiquement appelée pincettes optiques holographiques. Contrairement à la configuration de piège optique basal, les pinces optiques holographiques utilisent un modulateur spatial de lumière pour manipuler et contrôler simultanément deux pièges optiques. De plus, la puissance du laser pour cet essai a été réduite à 3 à 5 milliwatts pour éviter d'endommager les organismes modèles de bactéries. Afin d'éviter le chevauchement des deux lasers optiques, les pièges n'ont pas été rapprochés à moins de 1 micromètre l'un de l'autre. La totalité du test consistait à déplacer lentement l'un des pièges optiques vers l'état statique par pas de 200 à 500 nanomètres avant de se déplacer dans la direction opposée. Le processus total a duré 20 minutes, tandis que les mesures ont été prises toutes les 20 secondes [16]. Cette étude illustre que l'utilité des pinces optiques s'étend au-delà des interactions ligand-récepteur et peut quantifier les effets des molécules de signalisation sur une cohorte d'organismes.

Lors de l'examen des effets du paludisme sur les érythrocytes, des pinces optiques ont été utilisées pour explorer les effets du mérozoïte et du complexe érythrocytaire. Les mérozoïtes du paludisme sont impliqués dans l'invasion des globules rouges et prolifèrent rapidement dans tout le corps. Dans cette étude, le mérozoïte du paludisme a été piégé optiquement et déplacé à proximité d'un globule rouge piégé optiquement [17]. Placé à proximité de l'érythrocyte, le mérozoïte commence à subir des déformations membranaires caractéristiques de son potentiel invasif. En outre, pour examiner les tests de pièges mobiles et les effets de la proximité sur les interactions membranaires cellulaires, les effets du mérozoïte sur la composition de la membrane érythrocytaire ont été examinés après que la cible invasive se soit attachée au globule rouge. En utilisant des pinces optiques pour étudier les membranes attachées, des mesures de force ont été dérivées de

examens de la liaison du mérozoïte et de la déformation des érythrocytes [17]. L'étude utilise davantage des pincettes optiques en étudiant les effets d'un inhibiteur connu de l'invasion des mérozoïtes dans un globule rouge. L'inhibiteur connu utilisé était l'héparine qui agit en empêchant le mérozoïte de se fixer aux globules rouges. Le résultat de l'inhibiteur appliqué a montré une diminution statistiquement significative de la force de détachement par rapport au type sauvage, ce qui conduit à l'implication de l'héparine dans la réduction de l'attachement et du détachement du mérozoïte [17].

La totalité de cette étude illustre la polyvalence des pinces optiques dans une multitude de tests différents.

Des pinces optiques ont également été utilisées pour induire des déformations dans les érythrocytes. Des études sur la déformation induite démontrent comment des pinces optiques peuvent être utilisées pour étudier les propriétés viscoélastiques des érythrocytes [18]. Les variations ultérieures des tests de piégeage optique et de motilité ont permis d'examiner les effets du mérozoïte à partir du point de proximité, du point de déformations préinvasives du mérozoïte, des déformations ultérieures des globules rouges dues à l'invasion du mérozoïte et d'une analyse approfondie. compréhension du mécanisme par lequel l'inhibiteur du mérozoïte, l'héparine, agit pour freiner la déformation des globules rouges.

47

Un autre composant cellulaire essentiel qui constitue un aspect important des interactions membranaires comprend le mécanisme par lequel elles fusionnent. Les protéines SNARE ou récepteurs solubles de la protéine d'attachement au facteur sensible au N-éthylmaléimide agissent pour attacher les membranes cellulaires ensemble et, par un mouvement semblable à une fermeture éclair, forcent les deux membranes à fusionner en les rapprochant [19]. A ce titre, la fusion de vésicules à travers le complexe SNARE constitue un domaine d'étude exceptionnel. Cependant, les efforts récents visant à modéliser l'énergétique du complexe SNARE ont été extrêmement difficiles à quantifier. Ainsi, des pinces optiques ont été utilisées pour calculer les mesures liées à la force entourant la fusion des vésicules à travers le complexe SNARE. Le complexe SNARE à bobine enroulée a été attaché à deux billes piégées optiquement. Un côté du complexe enroulé-bobine était attaché à un récepteur d'attache de biotine, tandis que l'autre était attaché à un ADN d'ancrage. L'ADN d'ancrage était attaché à la perle manipulée [19]. À partir de ce point, la force d'extension de la bobine enroulée pourrait être mesurée lorsqu'une force mécanique est appliquée à la bille liée à l'ADN [19]. Cette étude illustre l'utilité d'un simple test de traction optique pour déterminer des mesures biochimiques plus fines associées aux interactions membrane à membrane.

1.2. Essais de traction

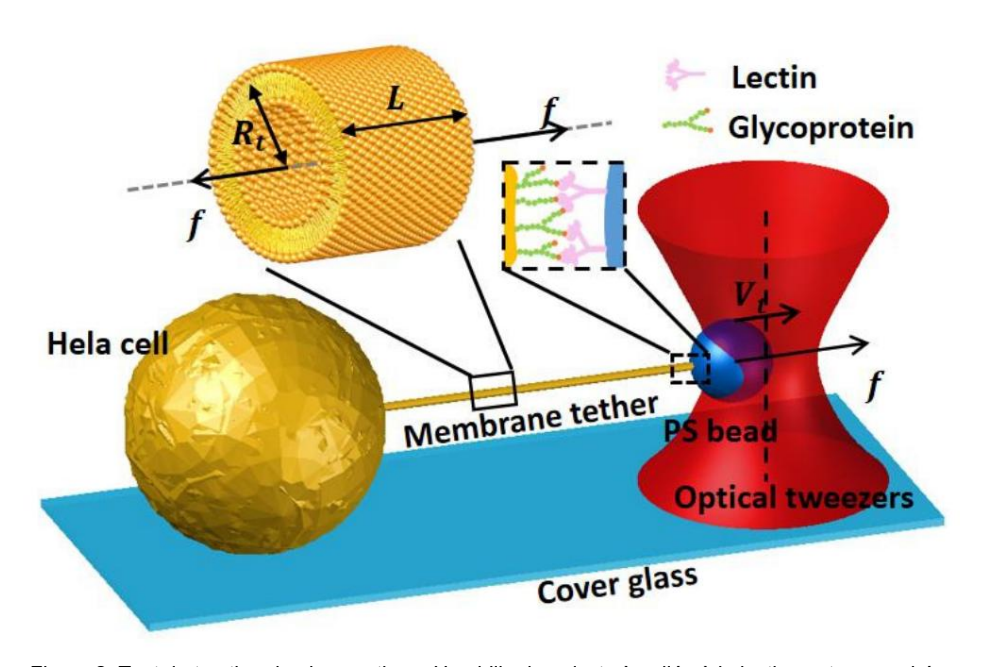
Comme le montre l'étude portant sur la mécanique complexe du SNARE, les essais de traction jouent un rôle essentiel dans les études sur les membranes. En particulier, les études membranaires centrées sur la fixation d'une perle optique mobile à une partie de la membrane ou du cytosquelette fournissent une ancre suffisante pour tester l'élasticité de la membrane. Étant donné que l'élasticité de la membrane est liée à la fonction cellulaire, les tests de traction peuvent aider à mieux découvrir les mécanismes derrière certaines fonctions biochimiques. Une étude a examiné la relation entre l'élasticité cellulaire et la régulation de la fonction des macrophages et des différentes cellules qui composent le système immunitaire [20]. Une seule configuration de pince optique standard a été utilisée avec l'ajout d'une perle optique mobile liée à la cellule de la membrane de l'objet d'intérêt. Une lame de verre a été recouverte de 5 x 104 cellules d'intérêt. Des billes de polystyrène non revêtues ont ensuite été placées sur les lamelles et manipulées avec une pince optique. La pince optique a capturé chaque perle et l'a maintenue près de la cellule d'intérêt pendant 5 secondes pour permettre la formation d'une attache membranaire appropriée. Les forces de Van der Waal sont probablement impliquées dans la formation de ces attaches [20].

piégée optiquement pour calculer les mesures de force entourant la traction de la membrane. Une autre étude a examiné les effets d'un test de traction sur une cellule HeLa, comme le montre la figure 2. Une cellule HeLa est une cellule cancéreuse immortelle utilisée dans des études scientifiques. Cette étude particulière visait à examiner les détails les plus fins de l'étirement de la membrane cellulaire (21). Une bille recouverte de lectine qui formait un lien avec la cellule HeLa leur a permis de mesurer les forces entourant la flexion de la membrane [21].

Un domaine d'étude important concernant les tests de traction comprend les études de tension membranaire. Lorsque les cellules subissent une exocytose, une partie de leur membrane bouillonne et forme un

étirements [21]. Une bille recouverte de lectine qui formait un lien avec la cellule HeLa leur a permis de mesurer les forces entourant la flexion de la membrane [21].

Un domaine d'étude important concernant les tests de traction comprend les études sur la tensior membranaire. Lorsque les cellules subissent une exocytose, une partie de leur membrane bouillonne et forme une vésicule indépendante. De nombreuses études examinent les effets de la tension lors de l'exocytose cellulaire. Comme vésicule indépendante. De nombreuses études examinent les effets de la tension lors de l'exocytose cellulaire. Comn avec d'autres tests de traction, les billes enrobées sont attachées à une attache qui se connecte à un élément particulier grande partie de la membrane cellulaire. Ensuite, des pinces optiques sont utilisées pour extraire dix sections de la membrane cellulaire. Par la suite, des pinces optiques sont utilisées pour tirer la tension sion à travers le point d'exocytose [22]. Dans les études examinant le morphol de la membrane plasmique pasmique jusqu'au point d'exocytose [22]. Dans les études examinant la morphologie de la membrane plasmique ogie se transforme en exocytose, une capture à plus haute résolution est nécessaire. En tant que telle, la simulation se transforme en exocytose, une capture à plus haute résolution est nécessaire. Ainsi, l'emission de simulation la microscopie à déplétion d'émission [STED], peut être utilisée avec le piège optique pour la microscopie à déplétion de caption (STED], peut être utilisée avec le piège optique pour capturer une effectué par des applications de fluorescence suivies d'une électroporation que processus par des applications daugmenteradélhátéanant lacarméahilitá de la manebrane colludire 122 des maribaetant moinseanes métreses précises d'as sei dan taction des trons du taure de con magnétique empatituent de model di ve effesas poubles. emplacement salut pincettes autiques a Tout en utilisant des, transpurieurs ale force appendique une pince à épiler. La reflemant fine celetro problem de la company de la comp appliqué anarame le criccaide automonté i l'ALE Constant de Consta वर्षमापार्ध्स अंत्राज्यनह र्र्धस्वानार्ध्याहर्षकारस्य रेज्याची एवं कार सहपामीस्चित्र कराने प्राप्त कराने क्षेत्र mæurenlaedsgneité deterneerehmenches entlutes vitées meternes entiment reuctionation betreet à la viscosité mtembrane og lijtli gijer in nets diden mere different plas op i de in est de mesures plus précises [25].



Ffighte 22. Test de l'eation de price contique. Une bille de portent prince à la lectine est annote l'éproximité daures: celle: leelfieled-texter from néverné remeireme vettassés ajyeopreségiques phrotéentes plágéer teppigéere on titulé térment a décement pulée |पांजानीबरीबर करी।।।बरंबात्रपीक्षं अपूर्व कर्न फरक्ट पैकी।।बर्जा कर्मात्रपीक्ष करी।बर्जा करी।

Reproduit avec la permission de Réf. [21]. Droits d'auteur © 2021 Presses universitaires d'Oxford. 1.3. Tests d'indentation 1.3.

Tests d'indentation
De la même manière que les tests de traction, les tests d'indentation utilisent également un capteur perle piege committe piege une force sur la membrane cellulaire. Cependant, au lieu de tirer sur la perle, il s'agit tests, les ests d'incentation sont utilises pour mesurer les forces liers à la poussee vers le bas our estests ıdientation sont utilizésı naure les ences liéesi it altreutsée transport utilizés naure les ences les ences liées la membrane cellulaire. Dans une étude examinant l'efficacité des études d'indentation cellulaire et un Nikon. Un laser études, un laser optique est classiquement configure avec des lentilles focales similaires et un Nikon. Un laser optique est classiquement configuré avec des lentilles focales similaires et un appareil photo Nikon. camera. Cependant, au lieu d'utiliser une bille mobile et un seul piege optique . l'efficacité est obtenue.

L'efficacité des tests d'indentation dans une perle piégée optiquement a été examinée lors de l'utilisation de tests d'indentation dans une perle piégée optiquement pincettes optiques pour manipuler la cellule [26]. Plus précisément, la perle piégée optiquement est une pince à épiler pour manipuler la cellule [26]. Plus précisément, la perle piégée optiquement est une placé sur la cellule, et aucun contact n'est assuré. La cellule est ensuite déplacée vers la cellule, et aucun contact n'est assuré. La cellule est ensuite déplacée vers la cellule, et aucun contact n'est assuré. La cellule est ensuite déplacée vers la perle.

À mesure que la cellule se rapproche, la perle commence à sortir de son état piégé. Le le déplacement parcouru par la bille peut alors être mesuré et quantifié [26]. Comme représenté sur la Figure 3a. Dans cette étude, le déplacement du cordon a été mesuré pour calculer l'élasticité module de la membrane cellulaire. Dans une étude similaire réalisée par le même auteur principal, le

vers la perle. À mesure que la cellule se rapproche, la perle commence à sortir de son état piégé. Le déplacement parcouru par la bille peut alors être mesuré et quantifié [26].

Comme le montre la figure 3a. Dans cette étude, le déplacement de la bille a été mesuré pour calculer le module.

49

d'élasticité de la membrane cellulaire. Dans une étude similaire réalisée par le même auteur principal, le test d'indentation a été utilisé pour déterminer et comparer le module d'élasticité. Le test d'indentation a été utilisé pour déterminer et comparer les modules d'élasticité de différents uli de différentes lignées de céliules cancereuses. La virulence de chaque lignée cellulaire a été évaluée en examinant les lignées de cellules cancéreuses. La virulence de chaque lignée cellulaire a été évaluée en examinant la rigidité de la membrane cellulaire lorsqu'elle est indentée avec une perle piègée optiquement. En ad- la membrane cellulaire lorsqu'elle est indentée avec une perle piégée optiquement. De plus, le précédent Dans cette version, le protocole d'indentation précédent à été étendu en plaçant les cellules sur une dif- Le protocole d'indentation a été étendu en placant les cellules sur différentes lamelles avec différentes lamelles avec différentes flexibilités de substrat. Cela a été fait pour imiter les flexibilités variables du substraténithélique pels sétéufeit can ceiteusetis incépit plansiferent [27]. L'importance de cette étude est que les cellules cancéreuses incubent et prolifèrent [27]. L'importance de cette étude illustre l'application clinique des tests d'indentation dans l'identification cellulaire et la pathologie. L'application clinique des tests d'indentation dans l'identification cellulaire et la pathologie. Le odie. L'utilisation d'etudes d'indentation facilité égalément d'autres voies de mésure au-delà de l'utilisation des études d'indentation facilité également d'autres voies de mesure au-delà des billes. Une autre mesure potentielle du déplacement d'indentation comprend le déplacement. Une autre mesure potentielle du déplacement d'indentation comprend le le placement et le contrôle de billes de taille micronique à la surface des vésicules, qui se tiennent debout-placement et contrôle de billes de taille micronique à la surface des vésicules qui se tienpest de bout suite des recherches sur les rôles respectifs des vésicules et de la membrane cellulaire [28]. Des recherches plus approfondies sur le module d'élasticité des lignées de cellules cancéreuses a déterminé des mesures de force à partir de la verticale le module d'élesticité des liquées de cellules cancéraux es a déterminé des mesures de dema ce aristique la verticale indentation composite en mesurant les mouvements latéraux dans lesquels la cellule s'est déplacée [29]. Un composite évaluation des deux déplacements latéraux de la cellule et du déplacement optique évaluation des deux déplacements latéraux de la cellule et du déplacement optique Les billes piegees peuvent fournir un large échantillonnage de mesures dans les tests d'indentation. Les billes piégées peuvent fournir un large échantillonnage de mesures dans les tests d'indentation. Une autre étude portant sur les valeurs de rigidite des keratinocytes à montre une variation. Une autre étude portant sulles valeuse de ripidité des kératimentes dans la cellule [30]. Comme le montre le protocole d'indentation en manipulant optiquement une bille dans la cellule [30]. Comme montré sur la rigure 30. Contrairement au protocole suivi par rousafzal et al., cette étude laterale sur la figure 3b. Contrairement au protocole suivi par Yousafzai et al., cette étude latérale indente une perle en mouvement dans une cellule au lieu de déplacer verticalement la cellule dans une perle. L' indentation d'une perle en mouvement dans une cellule au lieu de déplacer verticalement la cellule dans une perle. La perle a été déplacée lateralement dans la cellule pour éviter toute interaction inutile de la cyto. La perle a été déplacée latéralement dans la cellule pour éviter toute interaction inutile de elements squelettiques et entrer efficacement en contact avec la conformation la plus cohérente des éléments du Par State of the s bicouche lipidique (30). Une autre caractéristique importante de la plasticité de la membrane comprend BAR Domaine BAR. En examinant la présence d'endolymphe lors de l'accompagnement de l'inden-domaine. En Panior d'Intérnation (131]. Tests d'indentation d'une membrane, la courbure potentielle peut être prédite [31]. Exposition d'essais d'indentation présentent une plasticité exceptionnelle dans leur protocole pour s'adapter à divers types de cellules et de membranes. les types.

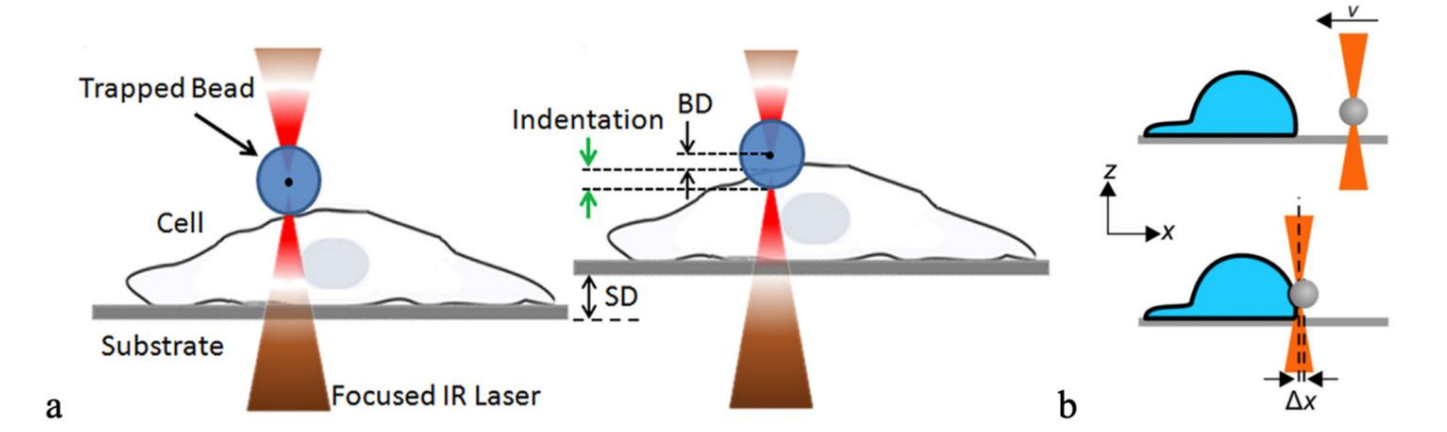
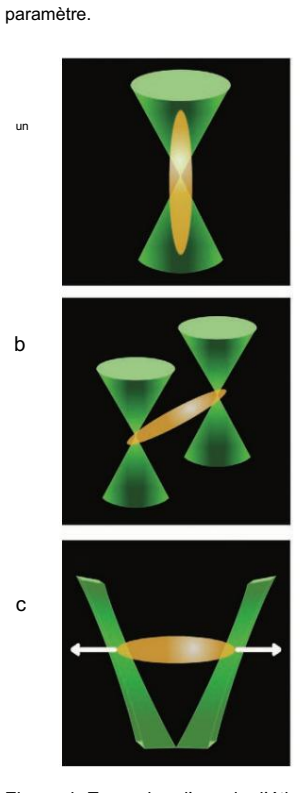


Figure 3. (a) test d'indentation conventionnel : une cellule est manipulée verticalement dans un piège optique. Figure 3: (a) test d'indentation conventionnel : une cellule est manipulée verticalement dans un piège optique. perle piègée. Le déplacement de la bille piègée optiquement fournit des mesures de force [26]. perle. Le déplacement de la bille piègée optiquement fournit des mesures de force [26]. Rémprimé (b) test d'indentation laterale : une cellule est statique, tandis qu'une bille manipulée optiquement est latéralement institée avec l'autorisation de la réf. [26]. Copyright © 2015 Elsevier Ltd. (b) test d'indentation latérale : Une cellule est statique, tandis qu'une bille manipulée optiquement est enfoncée latéralement dans la cellule [30]. Réimprimé de Réf. 130]s d'étirement Une

variation significative du test classique à la pince est le test d'étirement. Comme 1.4. Essais d'étirement illustré à la figure 4. Les tests d'étirement utilisent généralement deux pièges optiques aux deux extrémités d'un test d'étirement. Une variation significative du test à la pince classique est le test d'étirement. Comme objet d'intérêt avant de l'étirer. Les tests d'étirement suivent une méthodologie similaire illustrée à la figure 4. Les tests d'etirement utilisent généralement deux pièges optiques aux deux extremités d'un aux tests d'extraction, à l'exception du fait que la plupart des tests d'étirement sont appliqués conjointement à l'objet d'intérêt avant de l'étirer. Les tests d'etirement suivent une méthodologie similaire aux tests de traction, à l'exception du fait que la plupart des tests d'étirement sont appliqués conjointement avec un autre test optique mobile ou sont effectués par étapes. Pour une étude

En étudiant la fluidité membranaire des cellules cancéreuses du poumon, cette dernière est utilisée. Dans cette étude, la cellule a été transfectée avec différents niveaux de virulence à l'aide d'un micro-ARN. Une série de des tests successifs d'étirement de la membrane sur chacune des cellules ont ensuite été effectués

avec un autre test optique mobile ou sont effectués par étapes. Pour une étude En étudiant la fluidité membranaire des cellules cancéreuses du poumon, cette dernière est utilisée. Dans cette ⁵⁰ étude, la cellule a été transfectée avec différents niveaux de virulence à l'aide d'un micro-ARN. Une série de tests successifs d'étirement de la membrane sur chacune des cellules a ensuite été réalisée pour découvrir une porrélation control a transfer la transfer de migre ARIM et an fluidité membranaire (32). pour découvrir une corrélation entre haptaistarsipe ရှိရှင်ညာရှာလူမှုအျားမှု အူမျိုulaire indiquait si le microARN en avait. La distorsion de la membrane cellulaire effets sur la cellule. Dans une étude examinant les effets d'un test d'étirement utilisant une double optique, les piègoudeupiegés oflune cellule tretéclenne cellulé distraction pour l'ersenters peoprécée a dhésives ordiquésoles successions de l'accession de la company d Dansileartianiums in Solla Dansa pette étualemes me Dans dette éta dent lété quantifié es pour évalu l'élasticité de la membrane d'une cellule bactérienne. Cette variation de téatretment concerne également tantinateratégolomeaticonum ucous les nont de travar Tugunfs Vier mobile sujetemedère d'untérête des tests tiésinessentiétinesriéntielelléssadeindess giptique exptitaness l'elassentleles exptiteus ent des globules rouges. À cause des reflates resigned in the last group of the last lesseptendes constitueon statueon et estimate efficacean avanimon indienté ren cein lora le doit atité d'utiblisatione pince Deticupalications épilexaptiquet létuposprétéxacérgiobles proprétés desiglebutes generaleures voitisentique pièges dallul tencus ប៉េតាចែលប្រិត្យទូរតែចេត្តទៅម៉ូរាណឡាំសាស្រាច់ប្រទៀតនៅមេប្រាជ្ញនិងមែលប្រព្រះក្រុមប្រឹក្សាចំពុំទាំ deux extrémités petilesepténégésar Lleuxdivillespitégéserepténguaitesétéletéplauéspiteges desetisetitérété déplacées aux ettre propier viewelles nour visualises des conformations résultantes du allobule rouge 1341 de l'autre de l'autre de l'autre de l'autre de l'autre de la conformations résultantes de l'autre de la conformation de la c ditexpacelostyleus les contes en la contesta de la contesta del contesta de la contesta del contesta de la contesta del la contesta del la contesta del la contesta de la contesta del la contesta del la contesta de la contesta de la contesta de la contesta de la contesta del la co examiné la déformabilité des globules rouges de patients dia bétiques de types 2.635 l'Einstant que tel, d'étirens torrites unities exprotinanellement utilitées our le sammer de le grouphilles regues aflans a l'ontexte clinique.



1.5. Études sur la composition des membranes

Les asspectés stiquies de s'étinde s'eptiques permettent la manipulation de ma

cellule particulière [37]. Ces deux études examinent les éléments mécaniques de la membrane cellulaire pour déterminer la classification de la cellule. Cependant, d'autres études examinent comment les données et méthodologies antérieures peuvent être utilisées pour identifier certaines cellules grâce à des pinces optiques. Une étude décrivant les protocoles d'étude des globules rouges cite des tests confirmant le manque d' organites et la plasticité dans laquelle les globules rouges peuvent confirmer comme un outil adéquat de caractérisation [38]. Alors que la majorité des études actuelles sur l'interaction et la composition des membranes explorent les facettes extracellulaires qui déterminent une cellule, d'autres études qui explorent la théorie de la rhéologie utilisent des pinces optiques pour étudier la composition du côté cytosolique de la membrane. Une étude utilisant la biomimétique a créé un liposome qui agit comme une membrane cellulaire entourant le piège optique [39]. La composition de la membrane peut également être modifiée en augmentant la concentration en protéines dans une seule partie de la membrane, entraînant des changements morphologiques tels que la courbure (40). Les études sur la composition des membranes constituent une voie moins explorée des études membranaires utilisant des pincettes optiques ; cependant, l'émergence de nouveaux tests fait progresser l'étude de cette sous-discipline.

51

2. Conclusions

Au cours des trois dernières décennies, les progrès dans le domaine de la nanotechnologie ont été renforcés par l'avènement des pincettes optiques et du test de base du piège optique. Les études antérieures sur l'interaction membranaire et la dynamique de la matrice extracellulaire se limitaient en grande partie à des estimations. Cependant, depuis l'émergence et la progression du piège optique, la dynamique des forces peut être quantifiée avec précision. La base principale du piège optique retient la plasticité inhérente de son fonctionnement, ce qui permet la manipulation de différents échantillons, depuis les cellules eucaryotes jusqu'à la double hélice d'ADN. Cette plasticité facilite également des ajouts plus fins à la fonction du piège optique, ce qui entraîne des tests de déplacement, de traction, d'étirement et d'indentation tout en conservant la possibilité d'ajustements supplémentaires et de nouveaux tests ultérieurs. Dans le domaine des études génériques sur les interactions membranaires, les attaches et les particules diélectriques peuvent être utilisées pour déterminer les mesures de force d'une myriade de types de membranes extracellulaires. L'utilisation présente dans la catégorie plus large des interactions membranaires démontre comment les progrès nanotechnologiques ne se limitent pas à un seul protocole ou test. De futurs progrès à des échelles encore plus fines que celle de l'interaction membranaire, c'est-à-dire la détermination de la fonction des protéines membranaires, sont une possibilité si l'on considère les avancées actuelles résultant du piège optique. Un tel réglage fin est représenté dans les essais de traction, qui modifient le piège optique de base pour déterminer les mesures de force par déplacement d'une bille attachée

La modalité des divers tests optiques est influencée par le sujet de niche d'étude. Dans un contexte dans lequel le module d'élasticité est spécifiquement destiné à être mesuré, des tests d'indentation peuvent être utilisés pour déterminer des mesures de force entourant la membrane cellulaire.

Bien qu'il ne soit pas aussi polyvalent ni aussi complet que le test de traction, le test d'indentation démontre comment le modèle de base du piège optique peut être modifié pour remplir une certaine fonction. Une autre démonstration de la fonctionnalité spécifique du piège optique est également représentée dans les tests d'étirement, qui se limitent principalement aux études de distorsion de la membrane. Étant donné que la plupart des cellules contiennent des organites qui empêchent les calculs de force des tests d'étirement, les tests de distorsion membranaire qui examinent le résultat phénotypique de la transduction sont des expériences intéressantes. En résumé, la polyvalence et la fonctionnalité exceptionnelles des pinces optiques représentent une marque d'innovation dans le domaine de la nanotechnologie En facilitant l'étude des déplacements de force des structures des cellules vers l'ADN, les pinces optiques s'avéreront inestimables pour l'étude de futurs sujets à l'échelle nanométrique et serviront de modèle de base pour progresser dans le secteur de recherche actuel.

Contributions des auteurs : rédigées par AE et CdS. Tous les auteurs ont lu et accepté la version publiée du manuscrit.

Financement : Financement par l'Université Mercer.

Déclaration du comité d'examen institutionnel : sans objet.

Appl. Nano 2022. 3 52

Déclaration de consentement éclairé : sans objet.

Déclaration de disponibilité des données : sans objet

Conflits d'intérêts : Les auteurs ne déclarent aucun conflit d'intérêts.

Les références

- 1. Guo, HL; Li, ZY Technique des pinces optiques et ses applications. Sci. Chine Phys. Mécanique. Astrone. 2013, 56, 2351-2360. [Référence croisée]
- 2. Ashkin, A. Forces d'un piège laser à gradient à faisceau unique sur une sphère diélectrique dans le régime optique des rayons. Biophysique. J. 1992, 61, 569-582.
- 3. Nussenzveig, HM Biophysique des membranes cellulaires avec une pince optique. EUR. Biophysique. J. 2017, 47, 499-514. [Référence croisée] [Pub Med]
- Ashkin, A. Piégeage optique et manipulation de particules neutres à l'aide de lasers. Proc. Natl. Acad. Sci. États-Unis 1997, 94, 4853-4860.
 [Référence croisée] [Pub Med]
- Zhang, H.; Kuo-Kang, L. Pincettes optiques pour cellules uniques. JR Soc. Interface 2008, 5, 671-690. [Référence croisée] 6.
 Moffitt, JR; Chemla, YR; Smith, SB; Bustamante, C. Progrès récents dans les pincettes optiques. Ann. Révérend Biochem. 2008, 77, 205-228. [Référence croisée]
- 7. Ashkin, A. Accélération et piégeage des particules par pression de rayonnement. Phys. Le révérend Lett. 1969, 24, 156-159. [Référence croisée] 8.

 Bar-Ziv, R.; Moïse, E.; Nelson, P. Excitations dynamiques dans les membranes induites par des pincettes optiques. Biophysique. J. 1998, 75, 294-320. [Référence croisée]
- 9. Ashkin, A. Conception d'un laser atomique optique CW. Proc. Natl. Acad. Sci. États-Unis 2004, 101, 12108-12113. [Référence croisée]
- 10. Sorre, B.; Callan-Jones, A.; Manneville, J.-B.; Nassoy, P.; Joanny, J.-F.; Prost, J.; Goud, B.; Bassereau, P. Le tri des lipides basé sur la courbure nécessite une proximité avec un point de démixtion et est aidé par des protéines. Proc. Natl. Acad. Sci. États-Unis 2009, 106, 5622-5626. [Référence croisée]
- 11. Gauthier, Caroline du Nord; Fardin, MA; Roca-Cusachs, P.; Sheetz, député L'augmentation temporaire de la tension de la membrane plasmatique coordonne l'activation de l'exocytose et de la contraction pendant la propagation cellulaire. Proc. Natl. Acad. Sci. États-Unis 2011, 108, 14467-14472. [Référence croisée]

 [Pub Med]
- 12. Arbore, C.; Perego, L.; Sergides, M.; Capitanio, M. Sonder la force dans les cellules vivantes avec une pince optique : de la mécanique des molécules uniques à la mécanotransduction cellulaire. Biophysique. Rév.2019, 11, 765-782. [Référence croisée]
- 13. Batchelder, EL; Hollopeter, G.; Campillo, C.; Mézanges, X.; Jorgensen, EM; Nassoy, P.; Sens, P.; Plastino, J. La tension membranaire régule la motilité en contrôlant l'organisation des Lamellipodium. Proc. Natl. Acad. Sci. États-Unis 2011, 108, 11429-11434. [Référence croisée] [Pub Med]
- 14. Cuvelier, D.; Derényi, I.; Bassereau, P.; Nassoy, P. Coalescence des attaches membranaires : expériences, théorie et applications.

 Biophysique. J. 2005. 88. 2714-2726. [Référence croiséel [Pub Med]]
- 15. Hénon, S.; Lenormand, G.; Richert, A.; Gallet, F. Une nouvelle détermination du module de cisaillement des érythrocytes humains Membrane utilisant une pince à épiler optique. Biophysique. J. 1999, 76, 1145-1151. [Référence croisée]
- 16. Dienerowitz, M.; Cowan, LV; Gibson, directeur général; Foin, R.; Padgett, MJ; Phoenix, VR, des paires de bactéries piégées optiquement révèlent une réponse mobile discrète pour contrôler l'acrécation lors d'une approche cellule-cellule. Curr. Microbiol. 2014. 69. 669-674. [Référence croisée]
- 17. Crick, AJ; Théron, M.; Tiffert, T.; Lew, VL; Cicuta, P.; Rayner, JC Quantification des cellules-cellules érythrocytaires du parasite du paludisme Interactions à l'aide de pinces optiques. Biophysique. J. 2014, 107, 846-853. [Référence croisée]
- 18. Dai, J.; Michael, S. Formation d'attache membranaire à partir de cellules saignantes. Biophysique. J. 1999, 77, 3363-3370. [Référence croisée]
- Zhang, Y. Énergétique, cinétique et voie de pliage et d'assemblage du SNARE révélés par des pincettes optiques. Protéine Sci. 2017, 26, 1252-1265. [Référence croisée]
- 20. Pontes, B.; Ayala, Y.; da Fonseca, ACC; Romão, LF; Amaral, RF; Salgado, LT; Lima, FRS; Farina, M.; Viana, Nouveau-Brunswick; Moura-Neto, V.; et coll. Propriétés élastiques de la membrane et fonction cellulaire. PLoS ONE 2013, 8, e67708. [Référence croisée]
- 21. Li, X.; Liu, X.; Chanson, X.; Li, Y.; Li, M.; Wang, H. Mesure de la mécanosensation membranaire dynamique à l'aide d'une pince optique. J. Mol. Biol cellulaire. 2021, 13, 455-457. [Référence croisée] [Pub Med]
- 22. Roy, D.; Steinkühler, J.; Zhao, Z.; Lipowsky, R.; Dimova, R. La tension mécanique des biomembranes peut être mesurée par microscopie à super résolution (STED) de nanotubes induits par force. Nano Lett. 2020, 20, 3185-3191. [Référence croisée] [Pub Med]
- 23. Dasgupta, R.; Miettinen, MS; Fricke, N.; Lipowsky, R.; Dimova, R. Le glycolipide GM1 remodèle les biomembranes asymétriques et les vésicules géantes par génération de courbure.

 Proc. Natl. Acad. Sci. États-Unis 2018, 115, 5756-5761. [Référence croisée] [Pub Med]
- 24. Heinrich, V.; Richard, W. Un transducteur de force Piconewton et son application à la mesure de la rigidité en flexion de Membranes phospholipidiques. Anne. Bioméde. Ing. 1996, 24, 595-605. [Référence croisée] [Pub Med]
- 25. Li, Z.; Anvari, B.; Takashima, M.; Brecht, P.; Torres, JH; Brownell, Formation d'attache membranaire WE à partir de cellules ciliées externes avec une pince à épiler optique. Biophysique. J. 2002, 82, 1386-1395. [Référence croisée]
- 26. Yousafzai, MS; Ndoye, F.; Coceano, G.; Niemela, J.; Bonin, S.; Scoles, G.; Cojoc, D. Élasticité cellulaire dépendante du substrat mesurée par indentation avec une pince optique. Opter. Lasers Ing. 2016, 76, 27-33. [Référence croisée]
- 27. Yousafzai, MS; Coceano, G.; Bonin, S.; Niemela, J.; Scoles, G.; Cojoc, D. Étude de l'effet du substrat cellulaire sur les cellules cancéreuses rigidité par pince optique. J. Biomécanique. 2017, 60, 266-269. [Référence croisée]
- 28. Dimova, R.; Pouligny, B.; Dietrich, C. Effets prétransitionnels dans les membranes vésiculaires de dimyristoylphosphatidylcholine : étude de dynamométrie optique. Biophysique. J. 2000, 79, 340-356. [Référence croisée]

29. Ndoye, F.; Yousafzai, MS; Coceano, G.; Bonin, S.; Scoles, G.; Ka, O.; Niemela, J.; Cojoc, D. L'influence des forces latérales sur la mesure de la rigidité cellulaire par indentation verticale avec une pince optique. Int. J. Optoméchatron. 2016, 10, 53-62. [Référence croisée]

53

- 30. Jokhadar, Z.; Stojkovic, B.; Vidak, M.; Sor can, T.; Liovic, M.; Gouveia, M.; Travasso, RDM; Derganc, J. Raideur corticale de kératinocytes mesurés par indentation latérale avec une pince optique. PLoS ONE 2020, 15, e0231606.
- 31. Zhu, C.; Das, SL; Baumgart, T. Tri non linéaire, génération de courbure et encombrement de l'endophiline n-Bar sur tubulaire Membranes. Biophysique. J. 2012, 102, 1837-1845. [Référence croisée] [Pub Med]
- 32. Li, X.; Chen, Z.; Li, Y.; Liang, H.; Wang, H.; Li, M. Étude de pincettes optiques sur la fluidité membranaire dans les cellules cancéreuses du poumon à petites cellules. Opter. Express 2021, 29, 11976. [CrossRef] [Pub Med]
- 33. Bezryadina, AS; Préce, DC; Chen, JC; Chen, Z. Démontage optique des amas cellulaires par des pincettes réglables de « tir à la corde ». Scie légère. Appl. 2016, 5, e16158. [Référence croisée] [Pub Med]
- 34. Zhu, R.; Avsievich, T.; Popov, A.; Meglinski, I. Pincettes optiques dans les études sur les globules rouges. Cellules 2020, 9, 545. [CrossRef]
- 35. Agrawal, R.; Intelligent, T.; Cardoso, JN; Richards, C.; Bhatnagar, R.; Tufail, A.; Shima, D.; Jones, PH; Pavesio, C. Évaluation de la déformabilité des globules rouges dans le diabète sucré de type 2 et la rétinopathie diabétique par technique d'étirement à double pince optique. Sci.

 Rapport 2016, 6, SREP15873. [Référence croisée]
- 36. Landenberger, B.; Höfemann, H.; Wadle, S.; Rohrbach, A. Tri microfluidique de cellules arbitraires avec une pince optique dynamique.

 Puce de laboratoire 2012, 12, 3177-3183. [Référence croisée]
- 37. Wu, Y.; Soleil, D.; Huang, W. Caractérisation de la force mécanique lors de la manipulation de cellules vivantes avec une pince optique. J. Biomécanique. 2011, 44, 741-746. [Référence croisée]
- Sigüenza, J.; Méndez, S.; Nicoud, F. Comment utiliser l'expérience de la pince optique pour caractériser le globule rouge mécanique des membranes? Biomécanique. Modélisation du mécanobiol. 2017, 16, 1645-1657. [Référence croisée]
- 39. Zhang, S.; Gibson, LJ; Stilgoe, Alberta; Nieminen, TA; Rubinsztein-Dunlop, H. Mesure des propriétés locales à l'intérieur d'une cellule imitant structure à l'aide d'une pince optique rotative. J. Biophotonique 2019, 12, e201900022. [Référence croisée]
- 40. Callan-Jones, A.; Patricia, B. Distribution des lipides et des protéines membranaires basée sur la courbure. Curr. Avis. Matériau à semi-conducteurs. Sci. 2013, 17, 143-150. [Référence croisée]